

法政大学 正会員 牟田親弘
 山門明雄
 大地羊三

1. まえがき

杭の挙動を有限要素法で求めるために、豊浦砂の予備的三軸圧縮試験を実施したのでその結果を報告する。

2. 応力-ひずみ関係

土の応力-ひずみ関係は非線形であることは既に明らかである。有限要素法の使用に当ってこれを数式で表わすことが必要になってくる。筆者らは応力-ひずみ関係を表わすものとして次式を提案する。

$$(\sigma_1 - \sigma_3) = \frac{E_a}{a + b E_a} - E_p \epsilon_a \quad (1)$$

ここに $(\sigma_1 - \sigma_3)$: 軸差応力 (Kg/cm²)

E_a : 圧縮ひずみ

a, b : 実験より求める定数 (cm²/Kg)

E_p : 塑性係数 (Kg/cm²)

Kondner は応力-ひずみ関係を次式のように双曲線に近似した。

$$(\sigma_1 - \sigma_3) = E_a / (a + b E_a) \quad (2)$$

a, b は実験より求めるもので、初期接線弾性係数と破壊応力とに関係する。

Duncan & Chang は Kondner の式を Janbu の初期接線弾性係数の実験式と Mohr-Coulomb の破壊基準を用いて接線弾性係数 E_t を次のように表わしてやる。

$$E_t = \left[1 - \frac{R_f (1 - \sin \phi) (\sigma_1 - \sigma_3)}{2c \cos \phi + 2\sigma_3 \sin \phi} \right]^2 K p_a \left(\frac{\sigma_3}{p_a} \right)^m \quad (3)$$

Richard & Abbott は次式を提案してやる。

$$\sigma = \frac{E_i \epsilon_a}{\left(1 + \left| \frac{E_i \epsilon_a}{\sigma_0} \right|^m \right)^{1/m}} + E_p \epsilon_a \quad (4)$$

その他応力-ひずみ関係を表わすものとして、林と藤原、Desai の Spline Function などがある。

Kondner, Duncan & Chang の提案式は最大軸差応力附近まではかなりよく追従するがそれ以後はそれ以降もかなりよいがパラメーターが多くより煩雑になる傾向が

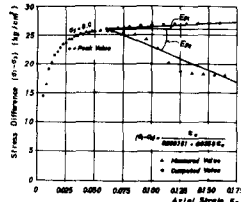


図-1

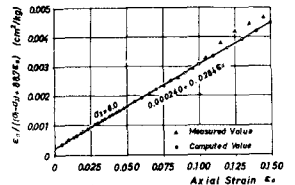


図-2

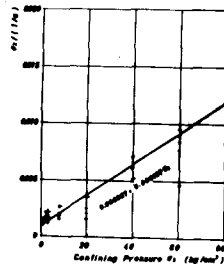


図-3

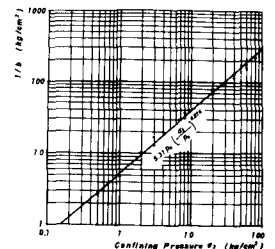


図-4

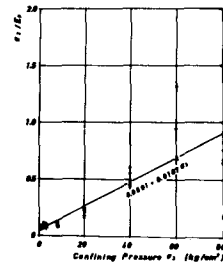


図-5

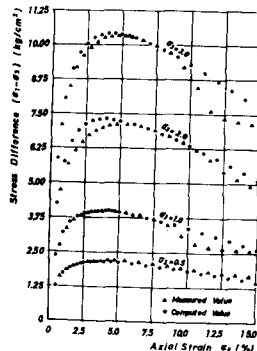


図-6

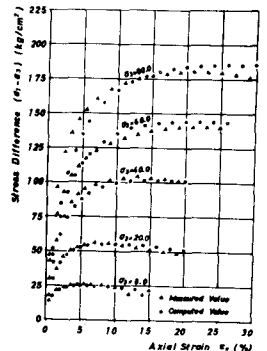


図-7

あり。

3. パラメータの決定

3-1. E_p の決定

(1)式は近似的に Kondner の双曲線と塑性係数 E_p と圧縮ひずみ ϵ_a との積との差を表現しているので、まず Kondner の提案した (2) 式でパラメータ a, b を求め、図-1 のように最大軸差応力を示した点から圧縮ひずみ 10% の点を双曲線上に取り、その傾きを E_{p1} とする。次に実験値と同様に取り、その勾配を E_{p2} とする。塑性係数 E_p は $|E_{p1}| + |E_{p2}|$ とし、応力-ひずみ関係を求めるとかなり近似した曲線が描ける。

3-2. a, b の決定

(1)式は次式のように書きかえられる。

$$\epsilon_a / \{ (\sigma_1 - \sigma_3) + E_p \epsilon_a \} = a + b \epsilon_a \quad (5)$$

(5)式は縦軸に $\epsilon_a / \{ (\sigma_1 - \sigma_3) + E_p \epsilon_a \}$ (cm^2/Kg) を横軸に ϵ_a を取ってプロットし、これを直線に近似し、その切片がパラメータ a (cm^2/Kg) でその勾配がパラメータ b (cm^2/Kg) を表わす。(図-2)

3-3. σ_3 との関係

実験に使用した飽和豊浦砂の初期間隙比は 0.67 で供試体寸法は直径 5.0 cm, 高さ 12.5 cm である。 σ_3 は 0.5 (Kg/cm^2) から 80.0 (Kg/cm^2) まで変化させて実験した三軸圧縮試験結果からパラメータ E_p, a, b を求め σ_3 との関係を調べてみる。

(2)式に於いて Janbu は接線弾性係数の初期値を $E_i = 1/a$ とし、 $E_i = K p_a (\sigma_3 / p_a)^m$ で表わせることを実験的に求めているが、(1)式の場合には両対数の上では直線関係ではなく、むしろ双曲線に近似した方がよいような傾向が見られた。Lee の Sacramento River Sand の実験結果もこの傾向が見うけられる。

$$1/a = \sigma_3 / (A_1 + A_2 \sigma_3) \quad (6)$$

(6)式を変形すると次式のように表わせる。

$$\sigma_3 / (1/a) = A_1 + A_2 \sigma_3 \quad (7)$$

縦軸に $\sigma_3 / (1/a)$ 、横軸に σ_3 (Kg/cm^2) を取り、これを直線に近似し、パラメータ A_1 と A_2 (cm^2/Kg) を求める。(図-3)

b に関しては Duncan & Chang は $R_f / (\sigma_1 - \sigma_3)_f$ とするとしている。すなわち $1/b = (\sigma_1 - \sigma_3)_f / R_f$ となり、 R_f を一定とし、Mohr-Coulomb の破壊基準に従うとしているので、 σ_3 に対して $1/b$ を両対数の方眼紙上にプロットすれば 45° の勾配を持つ直線が得られることになるが、(1)式によると $8 \text{ Kg}/\text{cm}^2$ まではこの傾向があるが、この点を境にして少しくその勾配は小さくなる傾向が見られる。 $1/b$ と σ_3 の関係で不連続な点があると演算時間が多くなるので図-4 のように 1 本の直線に近似した。これは Janbu の実験式と同じである。

$$1/b = K p_a (\sigma_3 / p_a)^m \quad (8)$$

E_p に関しては両対数の方眼紙上では不連続と雖も双曲線で次式のように近似した。(図-5)

$$E_p = \sigma_3 / (E_1 + E_2 \sigma_3) \quad (9)$$

$1/a$ と同様にして E_1, E_2 (cm^2/Kg) を求める。

(6), (8), (9) 式を (1) 式へ代入すると、応力-ひずみ関係を表わす式は (10) 式となる。

$$(\sigma_1 - \sigma_3) = \frac{\epsilon_a}{\frac{A_1 + A_2 \sigma_3}{\sigma_3} + \frac{\epsilon_a}{K p_a (\sigma_3 / p_a)^m}} - \frac{\sigma_3}{E_1 + E_2 \sigma_3} \epsilon_a \quad (10)$$

4. 応用

(1)式に従って実験結果からパラメータを決定すれば非常によく応力-ひずみ関係を追従し、 σ_3 を考慮した (10) 式も図-6, 図-7 のようにかなりよい演算結果が得られた。